

УДК: 619:616.98

Н.Л. Першикова, , Н.А. Донченко, В.А. Терновой

ГНУ Институт экспериментальной ветеринарии Сибири и Дальнего Востока СО Россельхозакадемии, Новосибирская обл., п.Краснообск, Институт молекулярной биологии ФГУП ГНЦ ВБ «Вектор», Новосибирская обл., п.Кольцово

МОЛЕКУЛЯРНО-БИОЛОГИЧЕСКИЕ МЕТОДЫ ТИПИРОВАНИЯ *Mycobacterium avium*, ВЫДЕЛЕННЫХ В СИБИРСКОМ РЕГИОНЕ

Введение

Актуальность проблемы типирования возбудителя туберкулёза птиц – *Mycobacterium avium* – определяется возрастающим числом случаев выделения данного патогена от животных, реагирующих на ППД-туберкулин для млекопитающих и заражением людей с пониженным иммунитетом (ВИЧ-позитивные) [1, 2]. Комплекс *Mycobacterium avium* включает в себя *M. avium* и *M. intracellulare* [3, 4]. Возбудитель вызывает туберкулёз у птиц и туберкулёзоподобные поражения у свиней. Имеются сообщения о распространении легочных инфекций у людей, вызываемых *M. avium*, на территории США [5, 6], Японии [7, 8], Тайланда [9] и Англии [10]. Inderlied C.B. et al (1993) указывают на изоляцию *M. avium* из почвы и воды [11], а Данко Ю.Ю. (2004) – из проб торфа и молока [12].

Наряду с традиционными методами типирования *M. avium* (культуральное исследование, биопроба, биохимические тесты) широкое распространение получили молекулярно-генетические методы, основанные на полимеразной цепной реакции

(ПЦР) и секвенировании фрагментов генома микобактерий. Значение молекулярных подходов определяется тем, что они: во-первых, предоставляют наиболее точные из возможных средств слежения за распространением возбудителя; во-вторых, позволяют отслеживать изменения в биологически важных участках генетического материала возбудителя туберкулёза, происходящие в процессе взаимодействия инфекционного агента с организмом чувствительного хозяина и со средой; в-третьих, способствуют описанию структуры популяции возбудителя и позволяют выявлять протекающие во времени изменения в популяционной структуре, которые могут вызвать эпизоотию. Методы диагностики, основанные на достижениях молекулярной биологии и популяционной генетики, позволяют оценивать родственные взаимоотношения между штаммами возбудителя туберкулёза, делать статистически обоснованные выводы и прогнозы о тенденциях распространения туберкулёза.

Цель исследования – установление генотипов выделенных изолятов *M. avium* и их филогенетическое исследование.

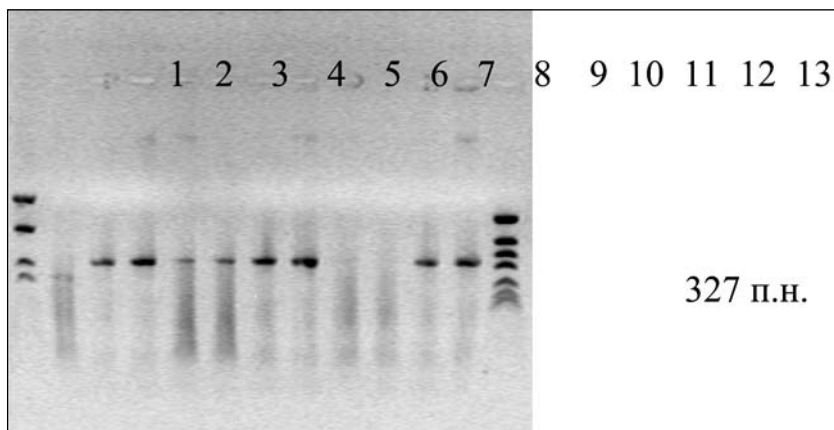


Рисунок 1 - Электрофореграмма фрагмента *mig*-гена *M. avium*
(№1 – маркер pUC19/Kzo9 I, №2 – *M. smegmatis*, №3 – 10-06, №4 – 48-01, №5 – 26-06, №6 – 14-05, №7 – 30-04, №8 – 18-06, №9 – *M. fortuitum*, №10 – *M. tuberculosis*, №11 – 8-03, №12 – 31-03, №13 – маркер pBluescript/Msp).

Материалы и методы.

В работе использованы 24 изолята *M. avium*, 1 изолят *M. tuberculosis*, 1 изолят *M. smegmatis*, выделенных в хозяйствах Новосибирской области в 2001-2006 годах от крупного рогатого скота и свиней, реагирующих на ППД-туберкулин и убитых с диагностической целью, а также референтные штаммы: *M. smegmatis* ВГНКИ, *M. intracellulare*, *M. fortuitum* ВГНКИ, *M. tuberculosis* шт. Erdman. Для выделения суммарной ДНК из клинических образцов и из культур микобактерий применяли метод сорбции на силикагеле с использованием набора ДНК-сорб В (ЦНИИЭ). Для амплификации использовали следующую пару праймеров:

5'-CCCGTTCAACGTCAACTTCC-3' и 5'-GGGCTCGCCGGTCATCAGGT -3', последовательности которой были опубликованы М.Л. Beggs et al., 2000 [13]. Постановку ПЦР осуществляли по общепринятым методикам на амплификаторе «Терцик» с использованием следующего режима: 95°C × 5 мин (1 цикл), 95°C × 30 сек, 68°C × 2 мин, 72°C × 5 мин (30 циклов), 72°C × 4 мин.

Анализ полученных в ПЦР данных проводили методом электрофореза в 1,7% агарозном геле, в присутствии бромистого этидия. В качестве маркера использовали pUC19/Kzo9 I и pBluescript/Msp, нанося по 6 мкл в «карман». Результаты электрофореза учитывали в УФ-свете на трансил-

Tub31-03 1

**{TTCAACGTCAACTTCCGCTACGTCAAAAGCGAACTGCACTACCTGGTCGCGGAC
TACGAG 60**

Tub10-06 1 60
Tub48-01 1C.....C..... 60
Tub26-06 1C..... 60
CP000479 1562672C.....C..... 1562613
CP000479 625932A.....G.GG...G...G.....T...ACA...C...C 625990
U43598 790C.....C..... 849
AE016958 2674569C.....C..... 2674628
AE016958 575375A.....G.GG...G...G.....T...ACA...C...C 575433
CP000480 2325378A.....G.A.....C.GA.C...GC..G. 2325319
CP000480 5975149T.....G.GG.G..G..CA.G.....CT...A.A...C...C 5975091
CP000511 2149558A.....G.....C.G..C.T.CG.GC 2149499
CP000511 5585687G..G.T.G...A.G.....T...A.A...CG..C 5585629
CP000656 4607755A.....G.....G.....C.G.....GCG.GT 4607814
CP000656 1611061T..G.GG.T.G..A.G..... 1611103
CP000580 1868037A.....ACGCGA...G...G.....C...AC...AG..G. 1867978
CP000580 5249531G.GG.G..GT..GG.....T...A.A...C...C 5249473
CP000325 4325609G.....G..G.A...G.C...G....TC.G.....-G..G. 4325667
CP000325 4545482G.GG.G..G..A.G.....T...ACA...C...C 4545424

**{Tub31-03 61 -GCGACCGCGCTGATCTACCA-CGCGGC-GTTCGCGCCCCGGGTG
GCGGAGATCCTGCCC 117**

Tub10-06 61 117
Tub48-01 61A..... 117
Tub26-06 61 117
CP000479 1562612 1562556
CP000479 625991 -AT.GTG.....G..C..G.--C.A..A.T.CGA.....A.CG.G..... 626047
U43598 850 906
AE016958 2674629 2674685
AE016958 575434 -AT.GTG.....G..C..G.--C.A.CA.T.CGA.....A.CG.G..... 575490
CP000480 2325318A...G.G.....A.....CA.C.....GCGA. 2325262
CP000480 5975090 -AT.GT..... 5975079
CP000511 2149498 -.C.....C.....-C.....C..G.AC.....AG.....G.. 2149442
CP000511 5585628 -AT.GT.....G.GC..G.G...C.--A...CGA.....A.CG.G..... 5585572
CP000511 77418TT.....CA.G.C.....G.. 77455
CP000656 4607815CC.....T.A.....A.....C.....G...CG. 4607871
CP000580 1867977 -.C...A...C.....TG-C.....C.C.....G.G..... 1867921
CP000580 5249472 -AT.GTG.....C..G.--T.A..A.AGC.....C..C...A.CG..... 5249416
CP000325 4325668 C..C.....-CA.-.....G.....AG.G.A... 4325725
CP000325 4545423 -AT.GTG...T.G..C..G.--T.A..A...GA...A.C...A.CG.G.....G 4545367

Рисунок 2. Сравнение выравненных последовательностей изолятов *M. avium* (Tub 31-03, Tub 10-06, Tub 48-01, Tub 26-06) с прототипными штаммами, зарегистрированными ранее в GenBank.

	V	A	P	F	M	N	F	R	I	K	S	E	L	H	Y	L	L	A	D	S	E	A	T	A	L	I	Y	H	A	A	F	A	P	R	M	A	E	I	L	A	D	L	P	R	L	R	M	L	I	Q	I	A	D	E	S	G	N	E	L	L	D	G	A	V	D	Y	E	D	A	L	A	S	V
1	V	A	P	F	M	N	F	R	I	K	S	E	L	H	Y	L	L	A	D	S	E	A	T	A	L	I	Y	H	A	A	F	A	P	R	M	A	E	I	L	A	D	L	P	R	L	R	M	L	I	Q	I	A	D	E	S	G	N	E	L	L	D	G	A	V	D	Y	E	D	A	L	A	S	V
2	V	A	F	F	V	N	F	Y	V	S	E	L	H	Y	L	L	A	D	S	E	A	T	A	L	I	Y	H	A	A	F	A	V	E	I	L	D	L	S	L	V	L	I	Q	I	A	D	E	S	G	N	E	L	L	D	G	A	V	D	Y	E	D	A	L	A	S	V							
3	V	A	F	F	V	N	F	Y	V	S	E	L	H	Y	L	L	A	D	S	E	A	T	A	L	I	Y	H	A	A	F	A	V	A	E	I	L	D	L	S	L	V	L	I	Q	I	A	D	E	S	G	N	E	L	L	D	G	A	V	D	Y	E	D	A	L	A	S	V						
7	V	A	F	F	V	N	F	Y	V	S	E	L	H	Y	L	L	A	D	S	E	A	T	A	L	I	Y	H	A	A	F	A	V	A	E	I	L	D	L	S	L	V	L	I	Q	I	A	D	E	S	G	N	E	L	L	D	G	A	V	D	Y	E	D	A	L	A	S	V						
7TB	V	A	F	F	V	N	F	Y	V	S	E	L	H	Y	L	V	A	D	Y	E	A	T	A	L	I	Y	H	A	A	F	A	V	A	E	I	L	D	L	G	L	V	L	I	Q	I	A	D	E	S	G	N	E	L	L	D	G	A	V	D	Y	E	D	A	L	A	S	V						
8	V	A	F	F	V	N	F	Y	V	S	E	L	H	Y	L	L	A	D	S	E	A	T	A	L	I	Y	H	A	A	F	A	V	E	I	L	D	L	S	L	V	L	I	Q	I	A	D	E	S	G	N	E	L	L	D	G	A	V	D	Y	E	D	A	L	A	S	V							
9TB	V	A	F	F	V	N	F	Y	V	S	E	L	H	Y	L	V	A	D	Y	E	A	T	A	L	I	Y	H	A	A	F	A	V	A	E	I	L	D	L	G	L	V	L	I	Q	I	A	D	E	S	G	N	E	L	L	D	G	A	V	D	Y	E	D	A	L	A	S	V						
11TB	V	A	F	F	V	N	F	Y	V	S	E	L	H	Y	L	L	A	D	S	V	A	T	A	L	I	Y	H	A	A	F	A	V	A	E	I	L	E	L	S	L	V	L	I	Q	I	A	D	E	S	G	N	E	L	L	D	G	A	V	D	Y	E	D	A	L	A	S	V						
13TB	V	A	F	F	V	N	F	Y	V	S	E	L	H	Y	L	L	A	D	S	E	A	T	A	L	I	Y	H	A	A	F	A	V	A	E	I	L	E	L	S	L	V	L	I	Q	I	A	D	E	S	G	N	E	L	L	D	G	A	V	D	Y	E	D	A	L	A	S	V						
104	V	A	F	F	V	N	F	Y	V	S	E	L	H	Y	L	L	A	D	S	E	A	T	A	L	I	Y	H	A	A	F	A	V	A	E	I	L	D	L	S	L	V	L	I	Q	I	A	D	E	S	G	N	E	L	L	D	G	A	V	D	Y	E	D	A	L	A	S	V						
Agy99	V	A	F	F	V	N	F	Y	V	S	E	L	Q	Y	L	L	A	D	A	G	A	T	A	L	I	Y	H	A	A	F	A	V	A	E	V	L	E	L	S	L	V	L	I	Q	I	A	D	S	G	N	E	L	L	D	G	A	V	D	Y	E	-----												
JLS	V	A	F	F	V	N	F	Y	V	S	E	L	Y	L	L	D	S	G	A	T	A	L	I	Y	H	A	A	F	A	V	A	E	V	L	D	L	S	L	I	Q	I	A	D	S	G	H	E	L	L	G	A	V	D	Y	E	-----																	
k10	V	A	F	F	V	N	F	Y	V	S	E	L	H	Y	L	L	A	D	S	E	A	T	A	L	I	Y	H	A	A	F	A	V	A	E	I	L	E	L	S	L	V	L	I	Q	I	A	D	E	S	G	N	E	L	L	D	G	A	V	D	Y	E	D	A	L	A	S	V						
KMS	V	A	F	F	V	N	F	Y	V	S	E	L	Y	L	L	D	S	G	A	L	L	Y	H	A	A	F	A	V	A	E	V	L	D	L	S	L	I	Q	I	A	D	S	G	H	E	L	L	G	A	V	D	Y	E	-----																			
MC2 155	V	A	F	F	V	N	F	Y	V	S	E	L	H	Y	L	L	D	A	G	A	T	A	L	I	Y	H	A	A	F	A	V	A	E	I	L	D	E	L	T	L	V	L	I	Q	I	A	D	S	G	N	E	L	L	D	G	A	V	D	Y	E	-----												
PYR-1	V	A	F	F	V	N	F	Y	V	S	E	L	H	Y	L	L	A	D	S	G	A	L	L	Y	H	A	A	F	A	V	A	E	V	L	A	D	L	S	L	V	L	I	Q	I	A	D	S	G	N	E	L	L	D	G	A	V	D	Y	E	-----													
PYR-GCK	V	A	F	F	V	N	F	Y	V	S	E	L	Q	Y	L	L	A	D	A	G	A	T	A	L	I	Y	H	A	A	F	A	V	A	E	V	L	A	D	L	S	L	V	L	I	Q	I	A	D	S	G	N	E	L	L	D	G	A	V	D	Y	E	-----											
TUB_001	V	A	F	F	V	N	F	Y	V	S	E	L	H	Y	L	L	A	D	S	E	A	T	A	L	I	Y	H	A	A	F	A	V	A	E	I	L	D	L	S	L	V	L	I	Q	I	A	D	E	S	G	N	E	L	L	D	G	A	V	D	Y	E	D	A	L	A	S	V						
TUB_002	V	A	F	F	V	N	F	Y	V	S	E	L	H	Y	L	L	A	D	S	E	A	T	A	L	I	Y	H	A	A	F	A	V	A	E	I	L	D	L	S	L	V	L	I	Q	I	A	D	E	S	G	N	E	L	L	D	G	A	V	D	Y	E	D	A	L	A	S	V						
TUB_003	V	A	F	F	V	N	F	Y	V	S	E	L	H	Y	L	L	A	D	S	E	A	T	A	L	I	Y	H	A	A	F	A	V	A	E	I	L	D	L	S	L	V	L	I	Q	I	A	D	E	S	G	N	E	L	L	D	G	A	V	D	Y	E	D	A	L	A	S	V						
TUB_004	V	A	F	F	V	N	F	Y	V	S	E	L	H	Y	L	L	A	D	S	E	A	T	A	L	I	Y	H	A	A	F	A	V	A	E	I	L	D	L	S	L	V	L	I	Q	I	A	D	E	S	G	N	E	L	L	D	G	A	V	D	Y	E	D	A	L	A	S	V						
TUB_005	V	A	F	F	V	N	F	Y	V	S	E	L	H	Y	L	L	A	D	S	E	A	T	A	L	I	Y	H	A	A	F	A	V	A	E	I	L	D	L	S	L	V	L	I	Q	I	A	D	E	S	G	N	E	L	L	D	G	A	V	D	Y	E	D	A	L	A	S	V						
TUB_006	V	A	F	F	V	N	F	Y	V	S	E	L	H	Y	L	L	A	D	S	E	A	T	A	L	I	Y	H	A	A	F	A	V	A	E	I	L	E	L	S	L	V	L	I	Q	I	A	D	E	S	G	N	E	L	L	D	G	A	V	D	Y	E	D	A	L	A	S	V						
TUB_007	V	A	F	F	V	N	F	Y	V	S	E	L	H	Y	L	L	A	D	S	E	A	T	A	L	I	Y	H	A	A	F	A	V	A	E	I	L	D	L	S	L	V	L	I	Q	I	A	D	E	S	G	N	E	L	L	D	G	A	V	D	Y	E	D	A	L	A	S	V						
TUB_008	V	A	F	F	V	N	F	Y	V	S	E	L	H	Y	L	L	A	D	S	V	A	T	A	L	I	Y	H	A	A	F	A	V	A	E	I	L	D	L	S	L	V	L	I	Q	I	A	D	S	G	H	E	L	L	G	A	V	D	Y	E	T	V	L	A	S	V								
TUB_009	V	A	F	F	V	N	F	Y	V	S	E	L	H	Y	L	L	A	D	S	E	A	T	A	L	I	Y	H	A	A	F	A	V	A	E	I	L	E	L	S	L	V	L	I	Q	I	A	D	E	S	G	N	E	L	L	D	G	A	V	D	Y	E	D	A	L	A	S	V						
TUB_010	V	A	F	F	V	N	F	Y	V	S	E	L	H	Y	L	L	A	D	S	E	A	T	A	L	I	Y	H	A	A	F	A	V	A	E	I	L	D	L	S	L	V	L	I	Q	I	A	D	E	S	G	N	E	L	L	D	G	A	V	D	Y	E	D	A	L	A	S	V						
TUB_011	V	A	F	F	V	N	F	Y	V	S	E	L	H	Y	L	L	A	D	S	E	A	T	A	L	I	Y	H	A	A	F	A	V	A	E	I	L	D	L	S	L	V	L	I	Q	I	A	D	E	S	G	N	E	L	L	D	G	A	V	D	Y	E	D	A	L	A	S	V						
TUB_012	V	A	F	F	V	N	F	Y	V	S	E	L	H	Y	L	L	A	D	S	E	A	T	A	L	I	Y	H	A	A	F	A	V	A	E	I	L	D	L	S	L	V	L	I	Q	I	A	D	E	S	G	N	E	L	L	D	G	A	V	D	Y	E	D	A	L	A	S	V						
TUB_013	V	A	F	F	V	N	F	Y	V	S	E	L	H	Y	L	L	A	D	S	E	A	T	A	L	I	Y	H	A	A	F	A	V	A	E	I	L	D	L	S	L	V	L	I	Q	I	A	D	E	S	G	N	E	L	L	D	G	A	V	D	Y	E	D	A	L	A	S	V						
TUB_014	V	A	F	F	V	N	F	Y	V	S	E	L	H	Y	L	L	A	D	S	E	A	T	A	L	I	Y	H	A	A	F	A	V	A	E	I	L	D	L	S	L	V	L	I	Q	I	A	D	E	S	G	N	E	L	L	D	G	A	V	D	Y	E	D	A	L	A	S	V						
TUB_015	V	A	F	F	V	N	F	Y	V	S	E	L	H	Y	L	L	A	D	S	E	A	T	A	L	I	Y	H	A	A	F	A	V	A	E	I	L	D	L	S	L	V	L	I	Q	I	A	D	E	S	G	N	E	L	L	D	G	A	V	D	Y	E	D	A	L	A	S	V						
TUB_016	V	A	F	F	V	N	F	Y	V	S	E	L	H	Y	L	L	A	D	S	E	A	T	A	L	I	Y	H	A	A	F	A	V	A	E	I	L	D	L	S	L	V	L	I	Q	I	A	D	E	S	G	N	E	L	L	D	G	A	V	D	Y	E	D	A	L	A	S	V						
U43598	V	A	F	F	V	N	F	Y	V	S	E	L	H	Y	L	L	A	D	S	E	A	T	A	L	I	Y	H	A	A	F	A	V	A	E	I	L	E	L	S	L	V	L	I	Q	I	A	D	E	S	G	N	E	L	L	D	G	A	V	D	Y	E	D	A	L	A	S	V						

Ветеринарная патология. № 2. 2009

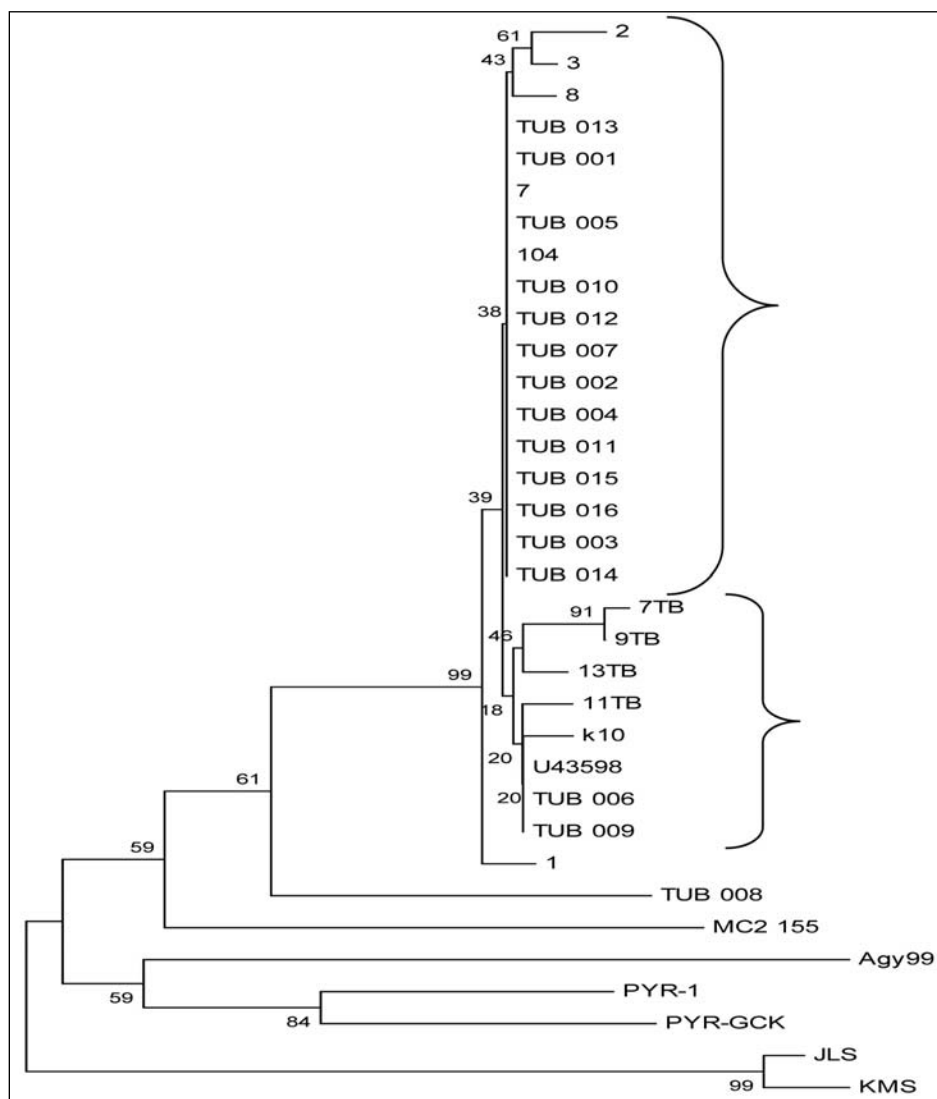


Рисунок 4 - Популяционные взаимоотношения между изолятами *M. avium*, выделенными в Западной Сибири.

люминаторе с длиной волны 246 нм. Длина полученного в ПЦР, фрагмента составила 327 п.н.

Для определения нуклеотидной последовательности ДНК фрагменты очищали при помощи наборов S.N.A.PTM Gel Purification Kit для агарозных гелей («InvitrogenlifeTechnologies»). Определение первичной нуклеотидной последовательности проводили на Beckman CEQ2000XL DNA Analysis System («Beckman Coulter, Inc.») согласно инструкции «Beckman sequencing Kit». Популяционный анализ осуществляли с использованием программ MEGA 3.1. (PSU, США) и GeneDoc 2.6. методом «ближайших соседей». Для построения дендрограмм использовали фрагменты

нуклеотидных последовательностей микобактерий, депонированных в международной базе данных GenBank (№№ CP000479, U43598, AE016958, CP000480, CP000511, CP000656, CP000580, CP000325). При компьютерной обработке данных нуклеотидные и выведенные аминокислотные последовательности анализировали с использованием программ MEGA. Дендрограммы строили на MegAlign 4.04. из пакета программ DNASTAR. Для статистической обработки данных при оценке достоверности группирования применяли бутстреп-тест.

Результаты исследований.

При ПЦР, специфичный ампликон размером 327 п.н., синтезировался только с ДНК *M. avium* (рис. 1). При этом реакция

с *M. intracellulare*, входящего в *M. avium* complex, была отрицательной, что подтверждает специфичность праймеров, использованных при постановке ПЦР.

Определения нуклеотидных последовательностей изолятов, полученных в сибирском регионе, показали, что фрагмент нуклеотидной последовательности *mit-g*-гена *M. avium* (118 – 165 п.н.) содержит нуклеотидную замену в положении 142 (CAT CCT) (рис. 2.). В сравнении с прототипным штаммом MAU43598 22 клинических изолята *M. avium* из сибирского региона имеют характерные нуклеотидные и аминокислотные замены в положении 130 п.н. (AGC ACC, S T), 233 п.н. (GCA GGA, A G), 241 п.н. (CCA CCG, P P) и 343 п.н. (CAT CGT, H R).

Выведенные аминокислотные последовательности 3 изолятов *M. avium*, выделенных в сибирском регионе имеют значительную степень гомологии (89%) с аминокислотной последовательностью изолята *M. avium* subsp. *paratuberculosis* K10 (AE016958, 2005 г.) (рис.3). Данный подвид микобактерий комплекса *M. avium* является этиологическим фактором болезни Крона крупного рогатого скота и имеет >3,000 генов, гомологичных возбудителю

туберкулёза человеческого вида [14].

При построении консенсусного ML-дерева для западно-сибирских изолятов *M. avium* были образованы 2 кластера (рис. 4). Изоляты, входящие в первый кластер генетически близки *M. avium* штамм 104, а изоляты второго кластера *M. avium* U43598.

Низкие индексы поддержки вызваны, вероятно, небольшой длиной изученного района и небольшим количеством «горячих точек», содержащих нуклеотидные замены.

Выводы

Несмотря на генетическое родство с западно-европейскими изолятами *M. avium* изоляты, полученные в западно-сибирском регионе имеют характерные нуклеотидные и аминокислотные замены, которые при проведении популяционного анализа могут служить маркером, позволяющим делать выводы об источнике распространения данного возбудителя. При проведении молекулярно-биологических исследований необходимо учитывать, что популяция *M. avium* гетерогенна по генотипическим характеристикам, что определяет её адаптацию к меняющимся условиям существования и способствует сохранения вида.

РЕЗЮМЕ

В статье приведены результаты изучения *M. avium*, полученных в Сибирском регионе, с использованием ПЦР-анализа и секвенирования фрагмента *mit-g*-гена.

SUMMARY

In article results of studying *M. avium*, received in Siberian region, with use PCR-analysis and sequencing a *mit-g*-gene fragment are resulted.

Литература

1. Ruf B. Mycobacteremia in AIDS patients / B. Ruf, D. Schurman, W. Brehmer et al. // Klin. Wochenschr. 1989. Vol. 67. P. 717–722.
2. Frothingham R. Molecular phylogeny of the Mycobacterium avium complex demonstrates clinically meaningful divisions / R. Frothingham, K.H. Wilson // J Infect Dis. 1994. Vol. 169. №2. P.305–312.
3. Devallois A. Molecular Characterization of Mycobacterium avium Complex Isolates Giving Discordant results in AccuProbe Tests by PCR-Restriction Enzyme Analysis 16S rRNA Gene Sequencing, and DT1 – DT6 PCR / A. Devallois, M. Picardeau, C.N. Paramasivan et al. // J. Clin. Microbiol. 1997. Vol. 35, P. 2767–2772.
4. Frothingham R. Sequence-Based Differentiation of Strains in the Mycobacterium avium Complex / R. Frothingham, K.H. Wilson // J. Bacteriol. 1993. Vol. 175. P. 2818–2825.
5. Ahn C.H. Demographic study of disease due to Mycobacterium kansasii or M. intracellulare – avium in Texas / C.H. Ahn, J.R. Lowell, G.D. Onstand et al. // Chest. 1979. Vol. 75. P. 120–125.
6. Kim T.C. Atypical mycobacterial infections: a clinical study of 92 patients / T.C. Kim, N.S. Arora, T.K. Aldrich et al. // South. Med. J. 1981. Vol. 74. P. 1304–1308.
7. Tsukamura M. Epidemiologic studies of lung disease due to mycobacteria other than mycobacterium tuberculosis in Japan / M. Tsukamura, N. Kita, H. Shimoide et al. // Rev. Infect. Dis. 1981. Vol. 3. P. 997–1007.
8. Tsukamura M. Studies of the epidemiology of nontuberculous mycobacteriosis in Japan / M. Tsukamura, N. Kita, H. Shimoide et al. // Am. Rev. Respir. Dis. 1988. Vol. 137. P. 1280–1284.
9. Prammananan T. Distribution of hsp65 PCR-Restriction Enzyme Analysis Patterns among Mycobacterium avium Complex Isolates in Thailand / T. Prammananan, S. Phunpruch, N. Tingtoy et al. // J. Clin. Microbiol. 2006. Vol. 44. P. 3819–3821.
10. Ingram C.W. Disseminated infection with rapidly growing mycobacteria / C.W. Ingram, D.C. Tanner, D.T. Durack et al. // Clin. Infect. Dis. 1993. Vol. 16. P. 463–471.
11. Inderlied C.B. The Mycobacterium avium Complex / C.B. Inderlied, C.A. Kemper, L.E.M. Bermudez // Clin. Microbiol. Rev. 1993. Vol. 6. P. 266–310.
12. Данко Ю.Ю. Эпидимическое и эпизоотическое значение атипичных микобактерий / Ю.Ю. Данко // Актуальные проблемы эпизоотологии на современном этапе: материалы науч.-производ. конф. СПб, 2004. с. 34–35.
13. Beggs M. Specific Identification of Mycobacterium avium Complex Isolates by a Variety of Molecular Techniques / M. Beggs, R. Stevanova, K.D. Eisenach // J. Clin. Microbiol. 2000. V. 38, № 2. P. 508–512.
14. Li L. The complete genome sequence of Mycobacterium avium subspecies paratuberculosis / L. Li, J.P. Bannantine, Q. Zhang et al. // Proc Natl Acad Sci USA. 2005. Vol. 30. P. 12344–12349.